

ЭКСПЕРИМЕНТАЛЬНОЕ ИССЛЕДОВАНИЕ ЭНЕРГЕТИЧЕСКОЙ ЗАВИСИМОСТИ ПОЛНЫХ СЕЧЕНИЙ РЕАКЦИЙ ${}^6\text{He} + {}^{\text{nat}}\text{Si}$ И ${}^9\text{Li} + {}^{\text{nat}}\text{Si}$

Ю. Г. Соболев^{1, 2, *}, Ю. Э. Пенионжкевич^{1, 3}, Д. Азнабаев^{1, 4},
Е. В. Земляная¹, М. П. Иванов¹, Г. Д. Кабдрахимова⁵,
А. М. Кабышев⁵, А. Г. Князев¹, А. Куглер⁶,
Н. А. Лашманов¹, К. В. Лукьянинов¹, А. Май⁷,
В. А. Маслов^{1, 2}, К. Мендибаев^{1, 4}, Н. К. Скобелев¹,
Р. С. Слепнев¹, В. И. Смирнов¹, Д. А. Тестов¹

¹ Объединенный институт ядерных исследований, Дубна

² Национальный исследовательский центр «Курчатовский институт», Москва

³ Национальный исследовательский ядерный университет «МИФИ», Москва

⁴ Институт ядерной физики, Алматы, Казахстан

⁵ Евразийский национальный университет им. Л. Н. Гумилева, Астана

⁶ Институт ядерной физики Чешской академии наук, Ржек, Чехия

⁷ Институт ядерной физики Польской академии наук, Krakow, Польша

Представлены новые результаты прямого измерения величин полных сечений реакций ${}^6\text{He} + {}^{\text{nat}}\text{Si}$ и ${}^9\text{Li} + {}^{\text{nat}}\text{Si}$ в зависимости от энергии пучка в диапазоне 5–40 A МэВ. В эксперименте применялся модифицированный трансмиссионный метод, основанный на регистрации n - γ -излучения с высокой эффективностью. В реакции ${}^9\text{Li} + {}^{\text{nat}}\text{Si}$ впервые выявлена особенность — «бамп» в энергетической зависимости $\sigma_R(E)$, проявляющийся как локальное повышение сечения в интервале значений энергии 10–30 A МэВ. Для реакции ${}^6\text{He} + {}^{\text{nat}}\text{Si}$ подтверждено наличие в сечении в области значений энергии 10–20 A МэВ «бампа», экспериментально обнаруженного ранее стандартной трансмиссионной методикой. Проведен теоретический анализ измеренных сечений реакций ${}^6\text{He} + {}^{\text{nat}}\text{Si}$ и ${}^9\text{Li} + {}^{\text{nat}}\text{Si}$ на основе микроскопической модели двойного фолдинга. Выявлено некоторое расхождение экспериментальных и теоретических величин сечений в области «бампа» при значениях энергии порядка 10–20 A МэВ, что требует дальнейших исследований.

New experimental data of total reaction cross-section values for ${}^6\text{He} + {}^{\text{nat}}\text{Si}$ and ${}^9\text{Li} + {}^{\text{nat}}\text{Si}$ reactions in the energy range 5–40 A MeV are presented. Modified transmission

*E-mail: sobolev@jinr.ru

method based on prompt $n-\gamma$ irradiation detection with high efficiency has been applied. The peculiarity of cross-section excitation function, which was shown as a “bump” in $\sigma_R(E)$ for ${}^9\text{Li} + {}^{\text{nat}}\text{Si}$ reaction at $E \sim 10\text{--}30\text{A MeV}$, has been observed for the first time. The existence of “bump” (which was observed earlier in standard transmission experiments) at $E \sim 10\text{--}20\text{A MeV}$ in $\sigma_R(E)$ function for ${}^6\text{He} + {}^{\text{nat}}\text{Si}$ reactions has been experimentally confirmed. Theoretical analysis of ${}^6\text{He} + {}^{\text{nat}}\text{Si}$ and ${}^9\text{Li} + {}^{\text{nat}}\text{Si}$ experimental data on the basis of microscopic double-folding calculation has been carried out. A discrepancy between experimental data and theoretical predictions in the energy region between 10 and 20A MeV around the “bump” requires further investigations.

PACS: 24.10.-i; 25.60.-t; 25.70.-z

ВВЕДЕНИЕ

Исследование особенностей взаимодействия нейтроноизбыточных изотопов ядер He и Li в настоящее время представляет значительный интерес. Малое количество протонов Z и нейтронов N , а также широчайший диапазон величин их отношения N/Z [0,5–3,0] и [1–2,67] для изотопов ${}^{4\text{--}8}\text{He}$ и ${}^{6\text{--}11}\text{Li}$ соответственно создают уникальные условия для тестирования различных микроскопических моделей ядерных реакций. Одними из фундаментальных измеряемых физических величин, которые могут быть доступны для измерения экспериментально, являются величины полных сечений реакций σ_R . Существенный интерес представляет энергетическая зависимость сечения реакции $\sigma_R(E)$, в частности, особенности функции энергетической зависимости. Так, в работе [1] были измерены величины сечения реакции ${}^6\text{He} + {}^{\text{nat}}\text{Si}$ и на основании этого получено указание на существование «бампа» — локального превышения над теоретическими предсказаниями величины сечения в области значений энергии 10–20A МэВ. Настоящая работа является продолжением данных исследований и представляет результаты измерений сечений реакций ${}^6\text{He} + {}^{\text{nat}}\text{Si}$ и ${}^9\text{Li} + {}^{\text{nat}}\text{Si}$, проведенных по модифицированной трансмиссионной методике, а также результаты их теоретического анализа.

1. ЭКСПЕРИМЕНТАЛЬНАЯ МЕТОДИКА

В соответствии с определением сечения реакции потоки частиц I_0 и I , приходящих на мишень и выходящих из мишени без взаимодействия соответственно, связаны соотношением

$$I = I_0 \exp(-N\sigma_R), \quad (1)$$

где N — приведенное число ядер мишени. Для экспериментов на тонких мишенях выражение (1) может быть приведено к линейному виду $N\sigma_R =$

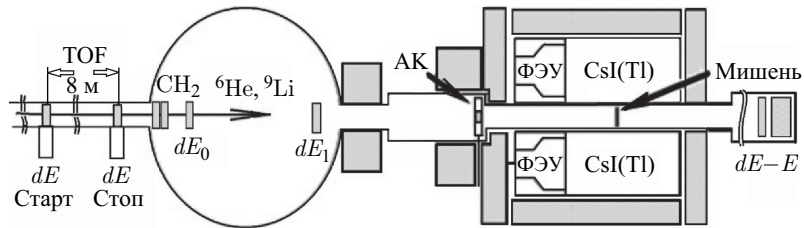


Рис. 1. Схема эксперимента по измерению сечений реакций методом 4π сцинтилляционного γ -спектрометра

$(I_0 - I)I_0^{-1}$, поскольку аргумент экспоненты мал ($N\sigma_R \ll 1$). С помощью трансмиссионных методик получают величину сечения реакции σ_R прямым измерением числа событий реакции $\Delta R = I_0 - I$, приведенным к соответствующей величине потока I_0 . Модифицированная трансмиссионная методика [2, 3], примененная в эксперименте, обеспечивает прямое измерение числа событий реакции $\Delta R = I_0 - I$, нормированного к величине потока I_0 . На рис. 1 схематически представлена экспериментальная установка.

Эксперимент проводился на ускорителе У-400М Лаборатории ядерных реакций им. Г. Н. Флерова ОИЯИ. Вторичный пучок продуктов реакции фрагментации пучка ^{11}B $E_{\text{lab}} = 32\text{ A}$ МэВ ускорителя У-400М ЛЯР ОИЯИ формировался и очищался магнитной системой ахроматического фрагмент-сепаратора ACCULINNA [4]. На выходе фрагмент-сепаратора пучок представлял смесь частиц ^6He и $^{8,9}\text{Li}$ общей интенсивностью $Y \sim 10^3 \text{ c}^{-1}$, величина которой ограничивалась во избежание эффекта наложения импульсов в dE -детекторах телескопа. Энергия пучка могла варьироваться магнитной системой фрагмент-сепаратора в пределах $E \sim 15\text{--}30$ МэВ без потери интенсивности. Дополнительное изменение энергии пучка с мелким шагом проводилось с помощью водородосодержащих CH_2 -поглотителей и/или подборкой толщин детекторов dE_0 , dE_1 . Это позволяло изменять и измерять энергию частиц пучка в каждом событии пролета их в мишень. Таким образом, частицы последовательно проходили через детекторы временипролетной системы TOF сепаратора ACCULINNA, CH_2 -поглотители, dE_0 , dE_1 «идентификационные» и «активный коллиматор» (AK) детекторы телескопа соответственно. Идентификация частиц пучка проводилась по их энергетическим потерям в данных детекторах и времени пролета T_{TOF} . На рис. 2 представлены двумерные спектры $dE_0 \times dE_1$ (рис. *a*), $dE_0 \times T_{\text{TOF}}$ (рис. *б*) и $dE_0 \times dE_{\text{AK}}$ (рис. *в*). Контуры в двумерных спектрах $dE_0 \times T_{\text{TOF}}$ и $dE_0 \times dE_{\text{AK}}$ определяли ансамбль событий I_0 падения частиц ^9Li на центр мишени.

Мишень (dE Si-детектор толщиной 500 мкм) располагалась в центре чувствительной зоны γ -спектрометра, в то время как все другие dE -детекторы

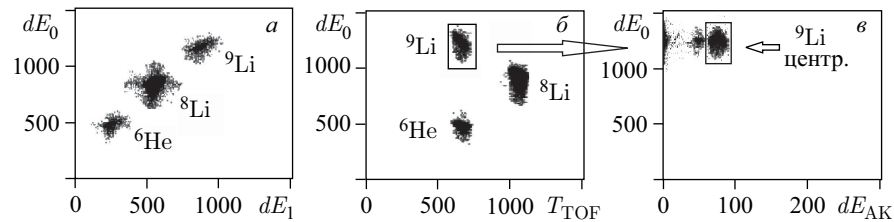


Рис. 2. Двумерные спектры идентификационных детекторов $dE_0 \times dE_1$ (а), $dE_0 \times T_{\text{TOF}}$ (б) и $dE_0 \times dE_{\text{АК}}$ (в). Абсциссы и ординаты двумерных спектров представлены в относительных величинах (каналы)

телескопа были окружены Pb-защитой и вынесены за чувствительную зону γ -спектрометра. За мишенью располагались dE_3 - и E -детекторы телескопа также в n - γ -защите. Старт системы сбора производился для каждого события пролета частицы через dE_1 -детектор. Детекторы γ -спектрометра регистрировали нейтроны и γ -кванты в совпадении со стартовым dE_1 -детектором. Количество событий реакции ΔR из предварительно выбранного ансамбля событий I_0 определялось условием превышения порога регистрации в любом из γ -детекторов.

2. РЕЗУЛЬТАТЫ И ОБСУЖДЕНИЕ

Измерения сечений реакций ${}^6\text{He} + {}^{\text{nat}}\text{Si}$ и ${}^9\text{Li} + {}^{\text{nat}}\text{Si}$ выполнялись одновременно и в одинаковых условиях на пучке «коктейля» частиц ${}^6\text{He}$ и ${}^9\text{Li}$. В табл. 1 и 2 представлены измеренные сечения реакций ${}^9\text{Li} + {}^{\text{nat}}\text{Si}$ и ${}^6\text{He} + {}^{\text{nat}}\text{Si}$ соответственно. На рис. 3, а представлены полные сечения реакции

Таблица 1. Полные сечения реакции ${}^9\text{Li} + {}^{\text{nat}}\text{Si}$

| $E, \text{ A МэВ}$ | $\sigma, \text{ мб}$ | $E, \text{ A МэВ}$ | $\sigma, \text{ мб}$ | $E, \text{ A МэВ}$ | $\sigma, \text{ мб}$ |
|--------------------|----------------------|--------------------|----------------------|--------------------|----------------------|
| $7,0 \pm 2,5$ | 1720 ± 113 | $16,5 \pm 1,4$ | 1993 ± 73 | $21,6 \pm 1,1$ | 1979 ± 68 |
| $11,5 \pm 1,8$ | 2016 ± 128 | $18,2 \pm 1,3$ | 2102 ± 108 | $23,7 \pm 1,0$ | 1913 ± 57 |
| $14,8 \pm 1,5$ | 2045 ± 148 | $19,6 \pm 1,2$ | 2024 ± 64 | $25,8 \pm 1,0$ | 1838 ± 65 |

Таблица 2. Полные сечения реакции ${}^6\text{He} + {}^{\text{nat}}\text{Si}$

| $E, \text{ A МэВ}$ | $14,1 \pm 1,1$ | $16,1 \pm 1,0$ | $17,9 \pm 0,9$ | $19,9 \pm 0,8$ | $25,1 \pm 0,8$ |
|----------------------|----------------|----------------|----------------|----------------|----------------|
| $\sigma, \text{ мб}$ | 1824 ± 84 | 1711 ± 76 | 1805 ± 88 | 1629 ± 79 | 1640 ± 83 |

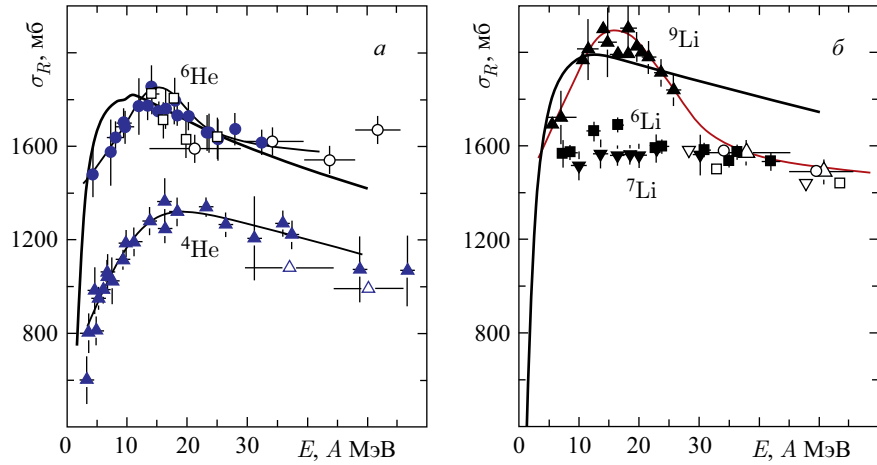


Рис. 3. Полные сечения реакций $\sigma_R(E)$ $^{4,6}\text{He} + ^{\text{nat}}\text{Si}$ (а) и $^{6,7,9}\text{Li} + ^{\text{nat}}\text{Si}$ (б) в зависимости от энергии налетающих частиц

$^{4,6}\text{He} + ^{\text{nat}}\text{Si}$ в зависимости от энергии налетающих частиц. Темные значки — экспериментальные данные из работы [1], полученные трансмиссионным методом многослойного телескопа. Светлыми значками обозначены: квадратами — результаты настоящей работы, кружками и треугольниками — результаты работы [5] для частиц ^6He и ^4He соответственно.

На рис. 3, б представлены полные сечения реакции $^{6,7,9}\text{Li} + ^{\text{nat}}\text{Si}$. Треугольниками вершиной вверх отмечены сечения реакции $^9\text{Li} + ^{\text{nat}}\text{Si}$: темными — данные настоящей работы, светлыми — результаты работы [5]. Квадратами показаны сечения реакции $^6\text{Li} + ^{\text{nat}}\text{Si}$: темными — данные работы [7], светлыми — результаты работы [5]. Треугольниками вершиной вниз обозначены сечения реакции $^7\text{Li} + ^{\text{nat}}\text{Si}$: темными — данные работы [1], светлыми — результаты работы [5].

Из рис. 3, а видно, что измеренные в настоящей работе величины сечений реакции $^6\text{He} + ^{\text{nat}}\text{Si}$ в рамках ошибок согласуются с [1], где измерение проводилось по стандартной трансмиссионной методике. В то же время проведенные в тех же условиях измерения сечения реакции $^9\text{Li} + ^{\text{nat}}\text{Si}$ настоящей работы (см. рис. 3, б) впервые явили особенность энергетической зависимости $\sigma_R(E)$ в виде «бампа» в интервале значений энергии 10–30 A МэВ.

На рис. 3 тонкой линией показаны интерполяционные кривые, толстой — результаты расчета, проведенного в рамках подхода, использованного ранее в [7] и основанного на применении микроскопического оптического потенциала (ОП). Вещественная часть ОП рассчитывается в рамках модели двойного

фолдинга (МДФ). В этом подходе потенциал взаимодействия двух ядер строится как сумма потенциалов эффективного (с учетом влияния ядерной среды) нуклон-нуклонного взаимодействия каждого из нуклонов налетающего ядра с нуклоном ядра-мишени. МДФ-потенциал V^{DF} включает прямую V^D и обменную V^{ex} составляющие [6]:

$$\begin{aligned} V^{\text{DF}} &= V^D + V^{\text{ex}}, \\ V^D &= \int d^3 r_p d^3 r_t \rho_p(\mathbf{r}_p) \rho_t(\mathbf{r}_t) v_{NN}^D(s), \quad \mathbf{s} = \mathbf{r} + \mathbf{r}_t - \mathbf{r}_p, \\ V^{\text{ex}}(r) &= \int d^3 r_p d^3 r_t \rho_p(\mathbf{r}_p, \mathbf{r}_p + s) \rho_t(\mathbf{r}_t, \mathbf{r}_t - s) v_{NN}^{\text{ex}}(s) \exp\left[\frac{iK(r) \cdot s}{M}\right]. \end{aligned}$$

Здесь $\rho_{p,t}$ в формуле для V^D — распределение одночастичной плотности $\rho(\mathbf{r})$ налетающего ядра (p) и ядра-мишени (t), а $\rho(\mathbf{r}; \mathbf{r} \pm \mathbf{s})$ в выражении для V^{ex} — матрицы соответствующих плотностей. Для плотности ядра ${}^6\text{He}$ использована модель LSSM (large scale shell model) из [8]. Для ядер-мишеней ${}^{28}\text{Si}$, ${}^{59}\text{Co}$, ${}^{181}\text{Ta}$ использованы плотности в форме ферми-функций с параметрами из [9]. Эффективный нуклон-нуклонный потенциал v_{NN} в прямой и обменной частях, зависящий от энергии и плотности сталкивающихся объектов, задан в форме парижского потенциала CDM3Y6 [6]:

$$v_{NN}(E, \rho, s) = g(E) F(\rho) v(s), \quad v(s) = \sum_{i=1,2,3} N_i \frac{\exp(-\mu_i s)}{\mu_i s},$$

где

$$g(E) = 1 - 0,003E/A_p, \quad F(\rho) = C [1 + \alpha \exp(-\beta\rho) - \gamma\rho], \quad \rho = \rho_p + \rho_t.$$

Параметры N_i , μ_i , C , α и γ приведены в [6]. Энергетическая зависимость в V^{ex} возникает в основном из локального импульса относительного движения:

$$K(r) = \{2Mm/\tilde{z}^2 [E - V_N^D F(r) - V_C(r)]\}^{1/2},$$

где $M = A_p A_t / (A_p + A_t)$ — приведенная масса; m — масса нуклона; V_C — кулоновский потенциал.

Мнимальная часть ОП рассчитывается в рамках микроскопического подхода на основе высокоэнергетического приближения согласно [10]:

$$W^H(r) = -\frac{2E}{k(2\pi)^2} \bar{\sigma}_{NN} \int_0^\infty dq q^2 j_0(qr) \tilde{\rho}_p(q) \tilde{\rho}_t(q) \tilde{f}_N(q),$$

Таблица 3. Коэффициенты подгонки расчетных кривых для ${}^6\text{He} + {}^{28}\text{Si}$ и ${}^9\text{Li} + {}^{28}\text{Si}$

| Налетающее ядро | N_r | N_{im} | $N_r^{(1)}$ | $N_{\text{im}}^{(1)}$ |
|-----------------|-------|-----------------|-------------|-----------------------|
| ${}^6\text{He}$ | 0,7 | 0,5 | 0,4 | 0,03 |
| ${}^9\text{Li}$ | 1 | 1 | 0,6 | 0,12 |

где $\tilde{\rho}(q) = \int d3r \exp(iqr) \rho(r)$ — формфактор плотности точечных нуклонов ядра; \tilde{f}_N — формфактор амплитуды NN -рассеяния; $\bar{\sigma}_{NN}$ — усредненное по изоспину ядер полное сечение NN -рассеяния, параметризованное в работе [11] в зависимости от энергии столкновения.

В вещественную и мнимую части ОП были также включены поверхностные члены в форме производных $(-rdV/dr)$. Таким образом, полная форма ОП имеет следующий вид:

$$U_{\text{opt}}(r) = \left[N_r V^{\text{DF}} - N_r^{(1)} r \frac{dV^{\text{DF}}}{dr} \right] + i \left[N_{\text{im}} W^H - N_{\text{im}}^{(1)} r \frac{dW^H}{dr} \right].$$

Потенциал U_{opt} содержит свободные параметры N_r , N_{im} , $N_r^{(1)}$ и $N_{\text{im}}^{(1)}$, отвечающие вкладу соответствующих выражений. Значения этих параметров фитируются к экспериментальным данным по сечениям реакций. Расчет сечений осуществлялся с помощью компьютерного кода DWUCK4 [12].

В настоящей работе подгонка параметров не проводилась. Для случая ${}^6\text{He}$ использованы коэффициенты, полученные в работе [7] и приведенные в табл. 3. Видно, что теоретическая кривая, построенная с коэффициентами, фитированными по данным при энергиях от 5 до 25 А МэВ, в целом соответствует экспериментальным данным в высокогенергетической области. Подгонка для ${}^9\text{Li}$ была сделана в [13] по экспериментальным точкам при значениях энергии от 5 до 20 А МэВ. Видно, что данный набор коэффициентов (значения даны в табл. 3) не обеспечивает согласия с экспериментальными данными при энергии выше 30 А МэВ, и для объяснения экспериментальных данных требуются дополнительные расчеты с подгонкой параметров по всем имеющимся к настоящему времени данным. Специальных исследований требует также расхождение экспериментальных и теоретических кривых в области «бампа» при энергии порядка 10 А МэВ.

Авторы благодарны коллективу сектора №6 ЛЯР ОИЯИ (установка ACCULINNA) и коллективу ускорителя МЦ400 за существенную помощь при проведении эксперимента. Настоящая работа была выполнена в Лаборатории ядерных реакций им. Г. Н. Флерова ОИЯИ при поддержке грантов полномочных представителей правительства Республики Чехии и Республики Польши в ОИЯИ, а также гранта РНФ 17-12-01170.

СПИСОК ЛИТЕРАТУРЫ

1. Соболев Ю. Г. и др. Энергетическая зависимость полного сечения реакции $^{4,6}\text{He}$, $^7\text{Li} + ^{28}\text{Si}$ при $E = 5\text{--}50$ МэВ/нуклон // Изв. РАН. Сер. физ. 2005. Т. 69, вып. 11. С. 1603–1607.
2. Соболев Ю. Г., Иванов М. П., Пенионжкевич Ю. Э. Установка для измерения полных сечений ядерных реакций // ПТЭ. 2012. № 5. С. 1–7.
3. Соболев Ю. Г. и др. Исследование функции возбуждения полного сечения реакции модифицированным методом трансмиссии, первые результаты // Изв. РАН. Сер. физ. 2012. Т. 76, вып. 8. С. 1071–1076.
4. Rodin A. M. et al. Status of ACCULINNA Beam Line // Nucl. Instr. Meth. B. 2003. V. 204. P. 114–118.
5. Warner R. E. et al. Total Reaction Cross Section of 20–60 A MeV $^{4,6,8}\text{He}$, $^{6-9,11}\text{Li}$ and ^{10}Be on Si // Phys. Rev. C. 1996. V. 54, No. 4. P. 1700–1709.
6. Khoa D. T., Satchler G. R. // Nucl. Phys. A. 2000. V. 668, No. 3. P. 1120–1130.
7. Лукьянов К. В. и др. Микроскопический анализ энергетической зависимости полных сечений реакций ^6He , $^6\text{Li} + ^{28}\text{Si}$ в диапазоне $E = 5\text{--}50$ А МэВ // Изв. РАН. Сер. физ. 2008. Т. 72, вып. 3. С. 382–386.
8. Karataglidis S. et al. // Phys. Rev. C. 2000. V. 61. P. 024319.
9. Patterson J. D., Peterson R. J. // Nucl. Phys. A. 2003. V. 717. P. 235–239.
10. Земляная Е. В., Лукьянов В. К., Лукьянов К. В. Ядро-ядерное рассеяние и оптический потенциал фолдинга // ЯФ. 2006. Т. 69, вып. 2. С. 262–275.
11. Charagi S., Gupta G. // Phys. Rev. C. 1990. V. 41. P. 1610–1620.
12. Kunz P. D., Rost E. Computational Nuclear Physics. V. 2 / Eds: K. Langanke et al. Springer-Verlag, 1993. P. 88–92.
13. Sobolev Yu. G. et al. Total Reaction Cross Section Excitation Function Studies for ^6He Interaction with ^{181}Ta , ^{59}Co , ^{nat}Si , ^9Be Nuclei // VII Symp. on Exotic Nuclei “EXON-2014”, Kaliningrad, Russia, Sept. 8–13, 2014. P. 142–147.